

Fig. 1

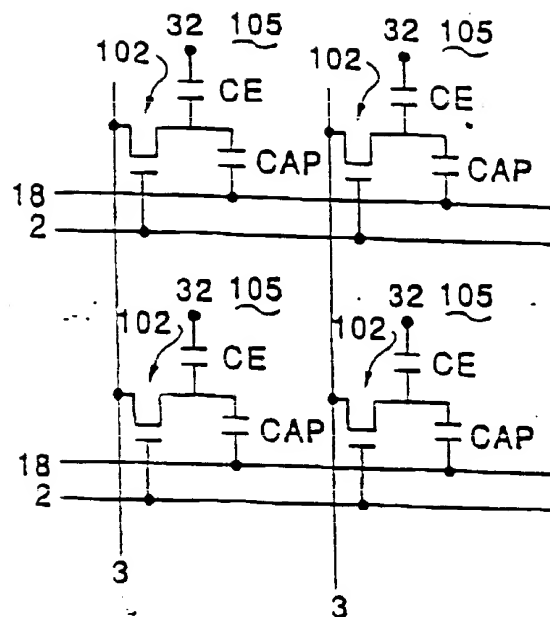


Fig. 4 (A)

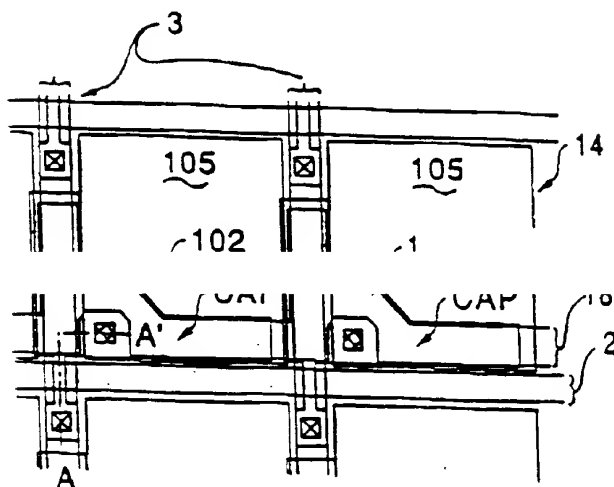


Fig. 4 (B)

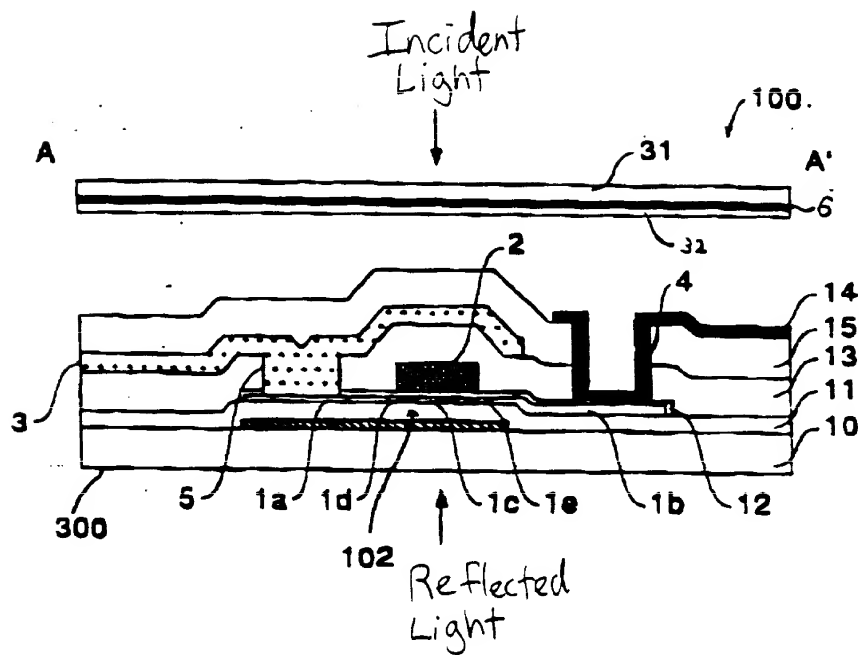


Fig. 5

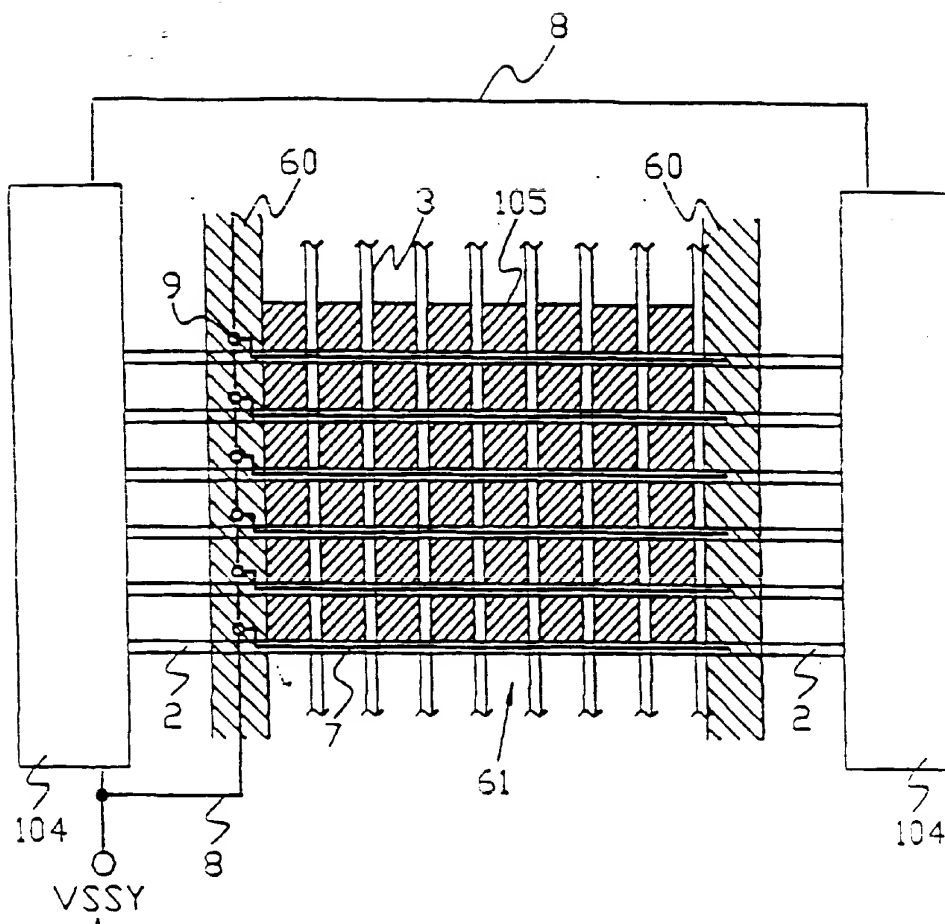


Fig. 7

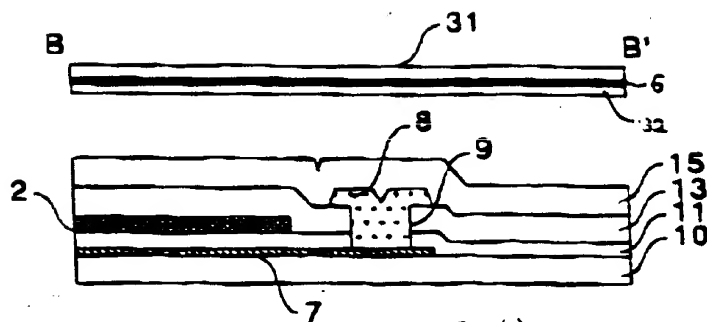


Fig. 8(A)

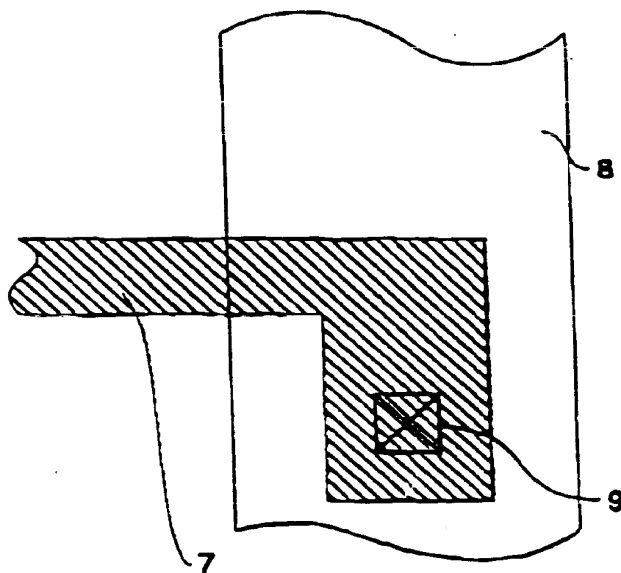


Fig. 8(B)

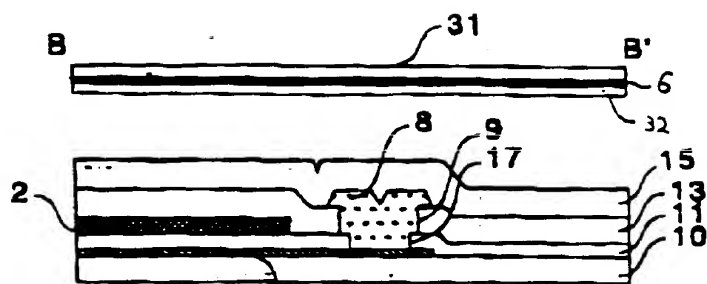


Fig. 9(A)

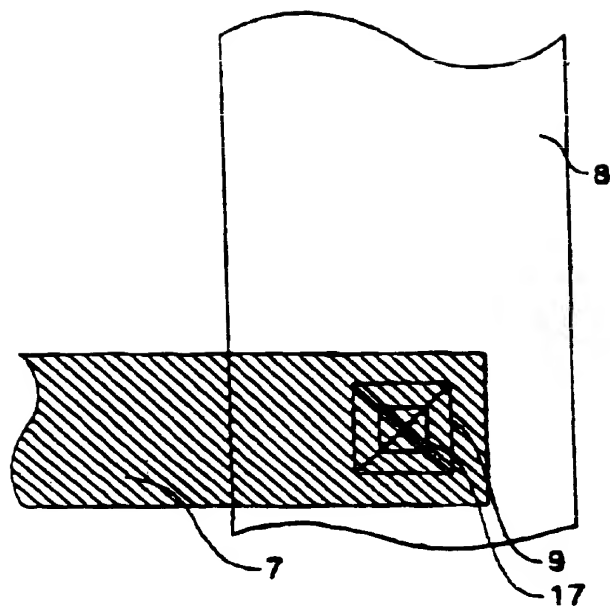
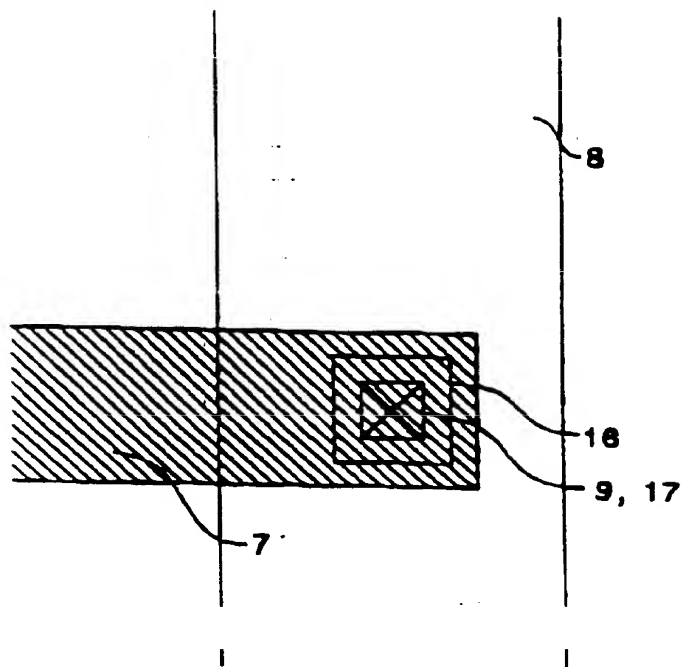
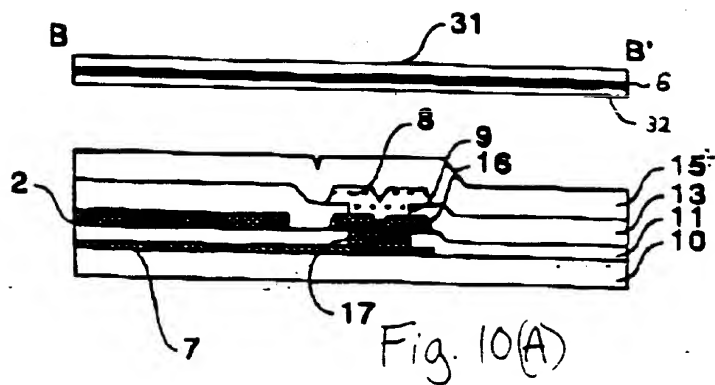


Fig. 9 (B)



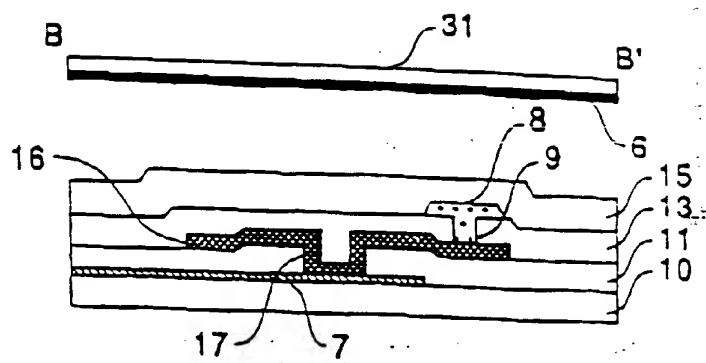


Fig. 11(A)

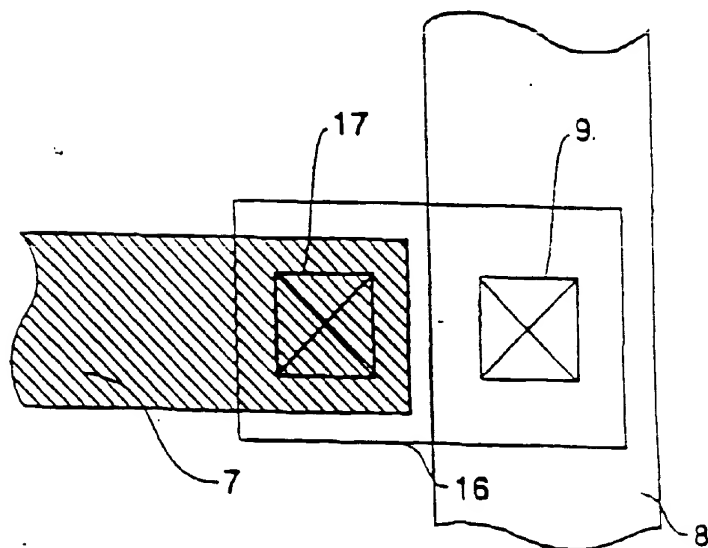


Fig. 11(B)

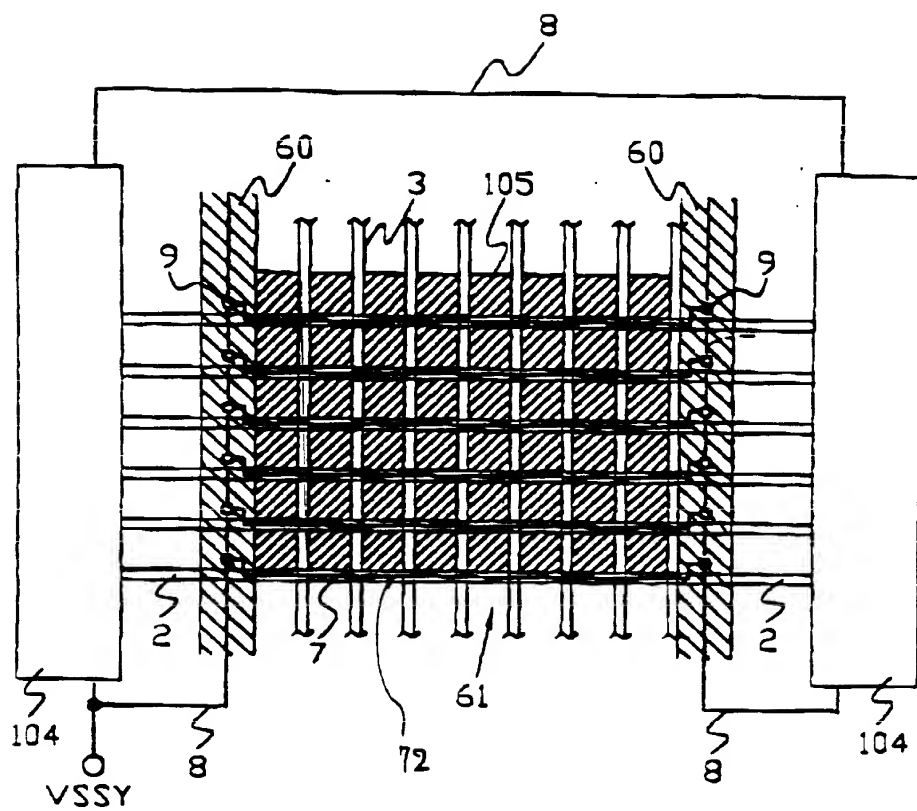


Fig. 12

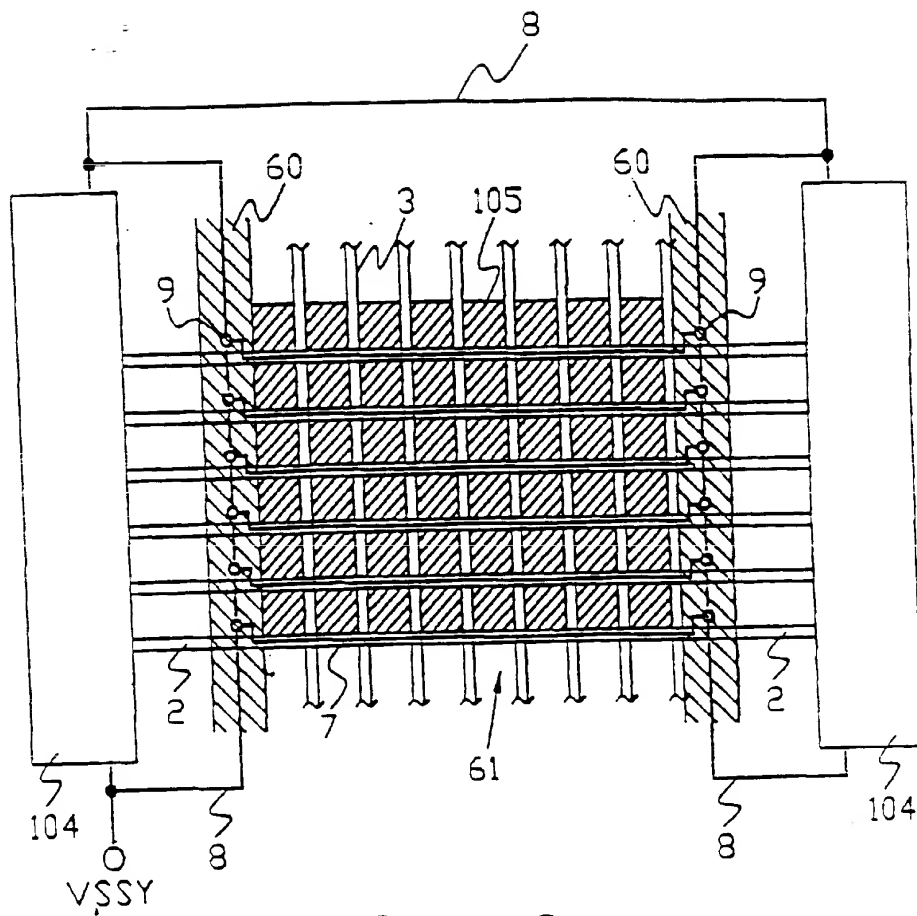


Fig. 13

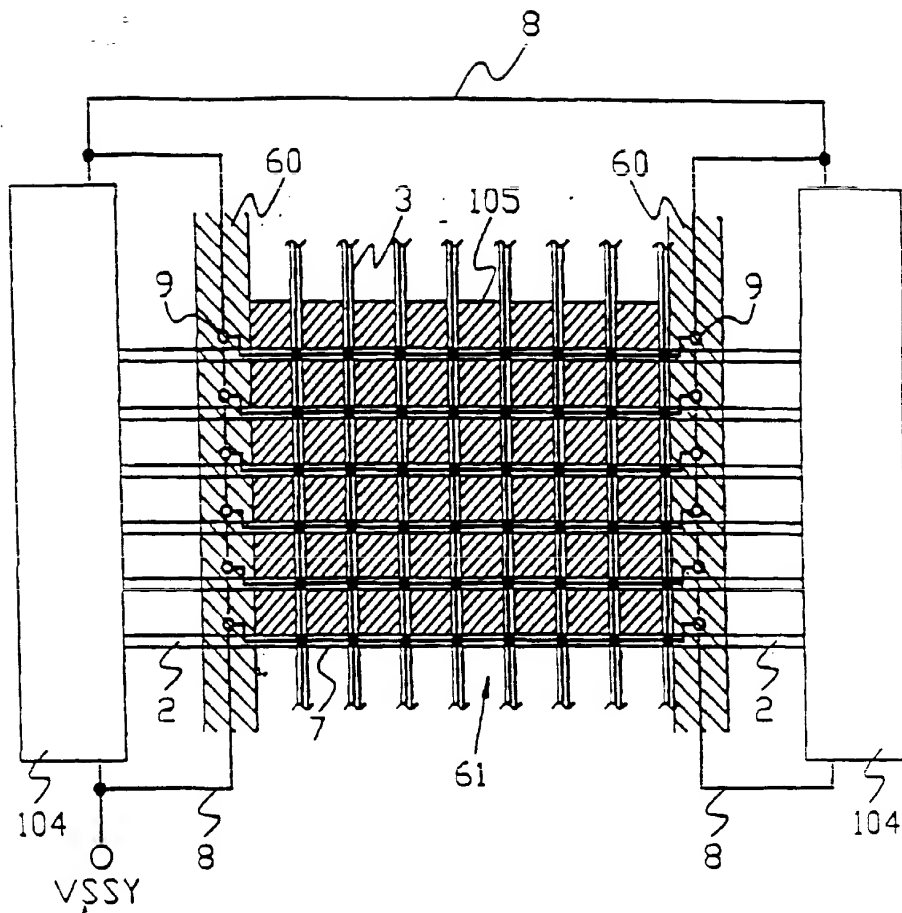
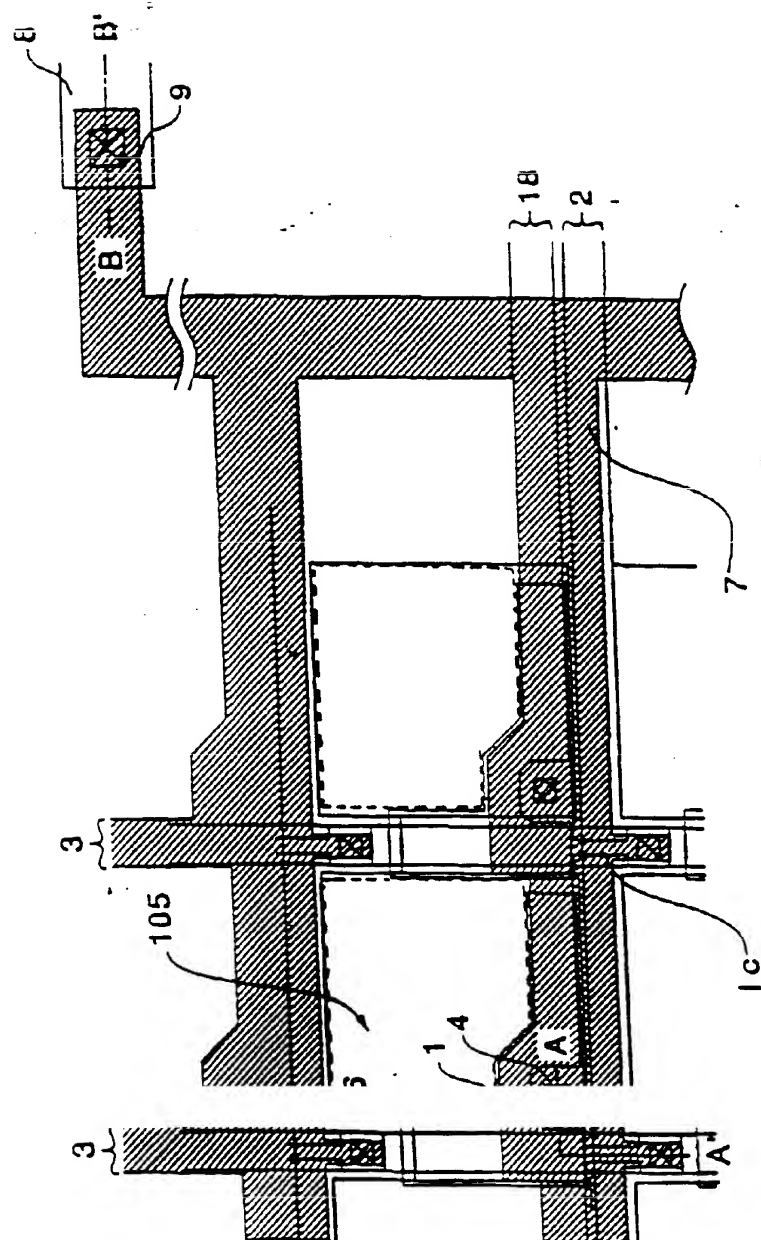


Fig. 14



515

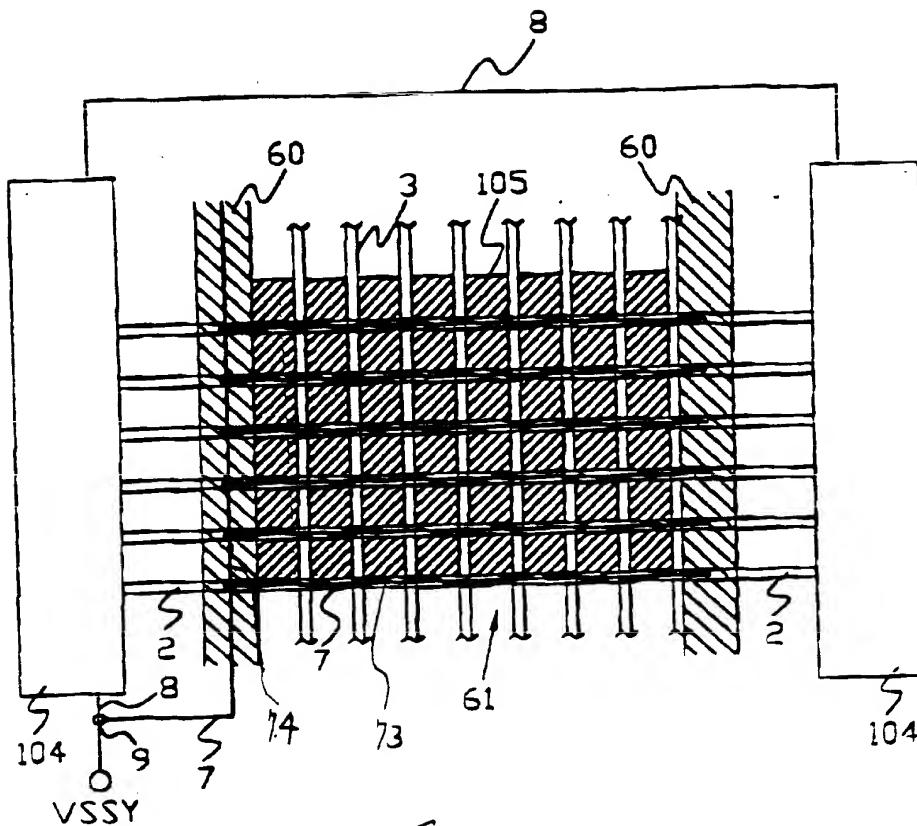


Fig. 16

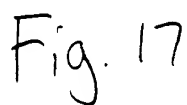


Fig. 17

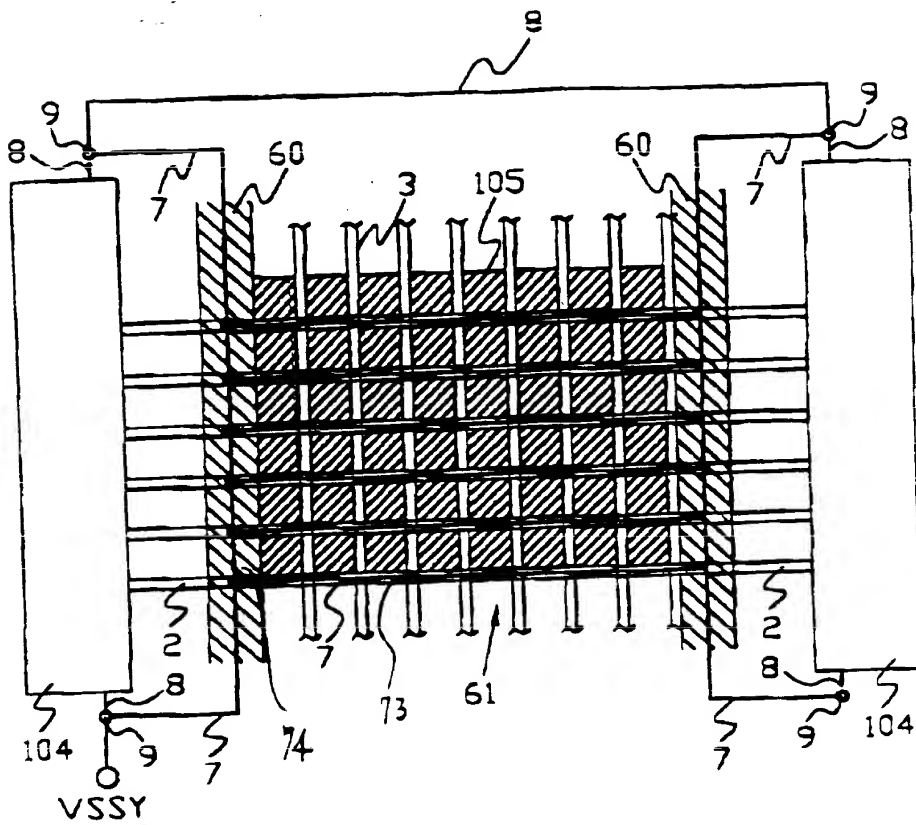


Fig. 18

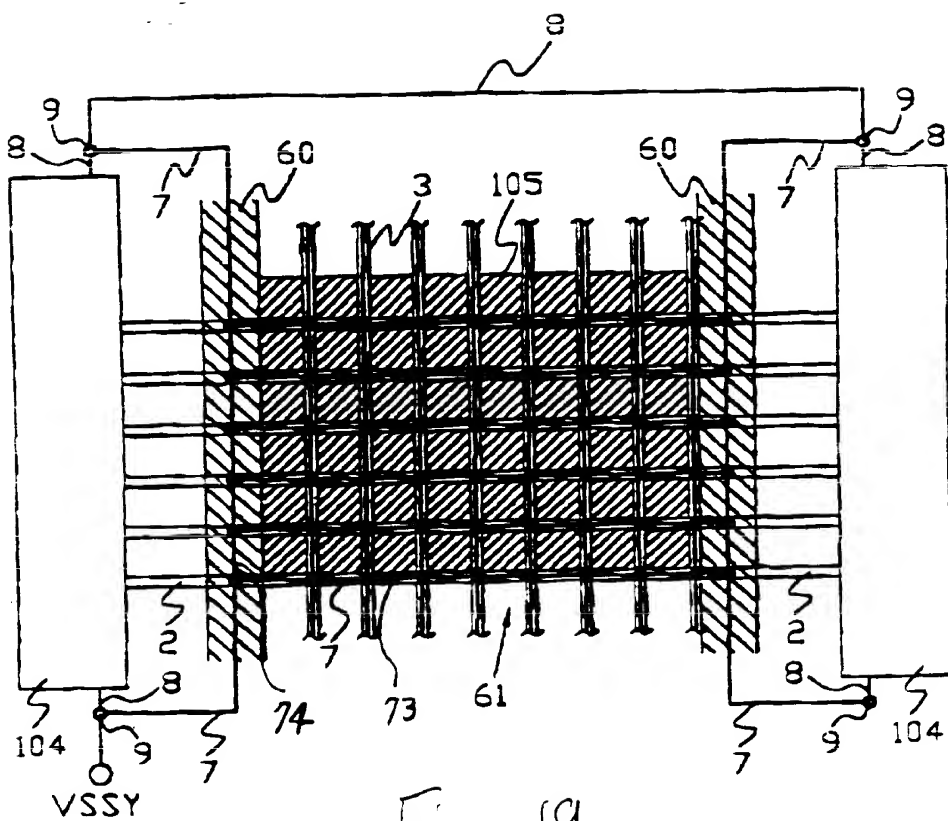


Fig. 19

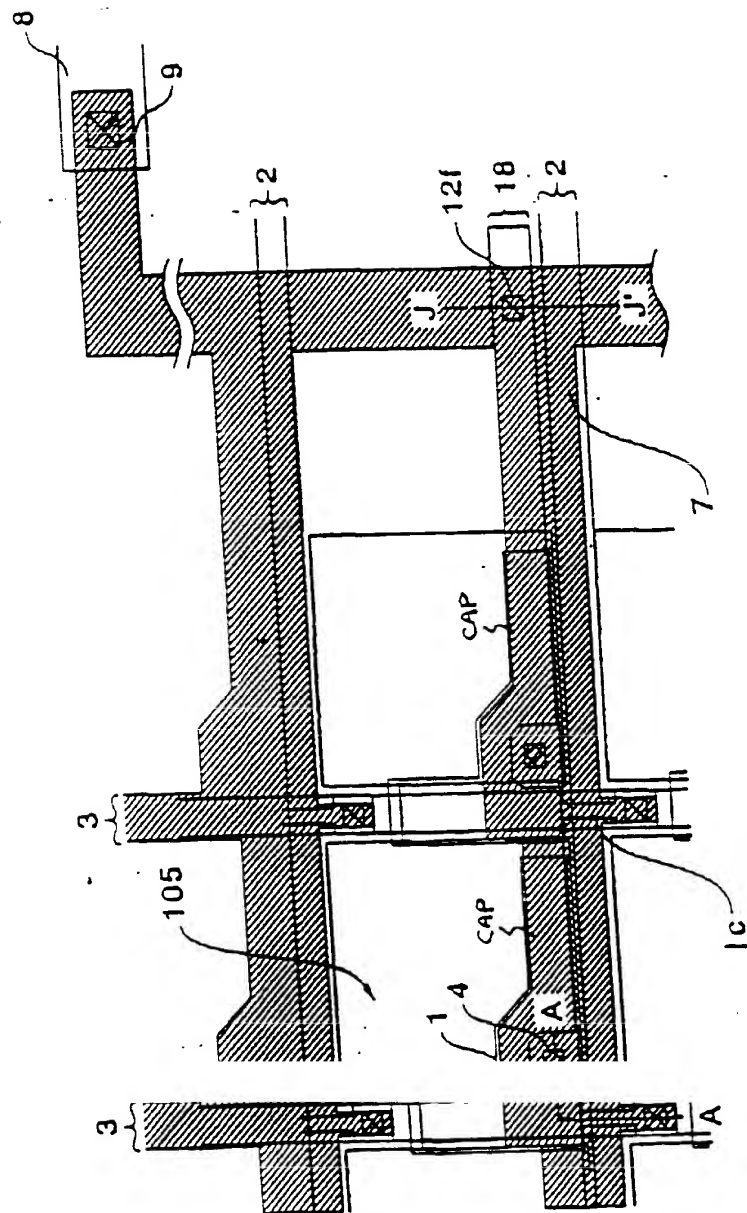


Fig. 20

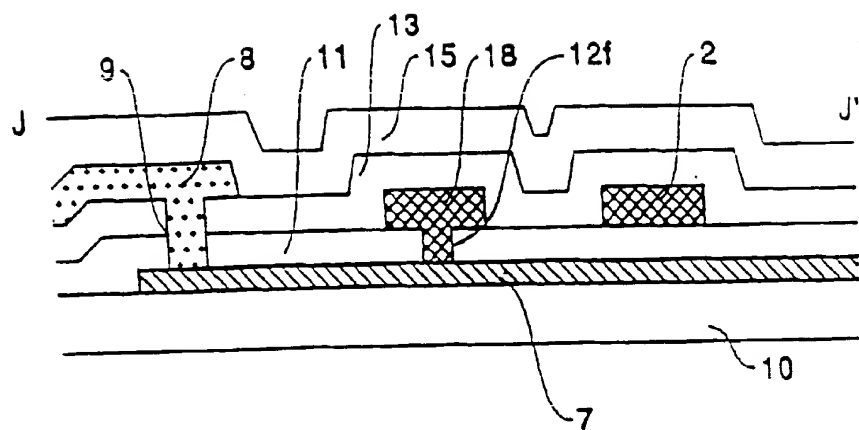


Fig. 21

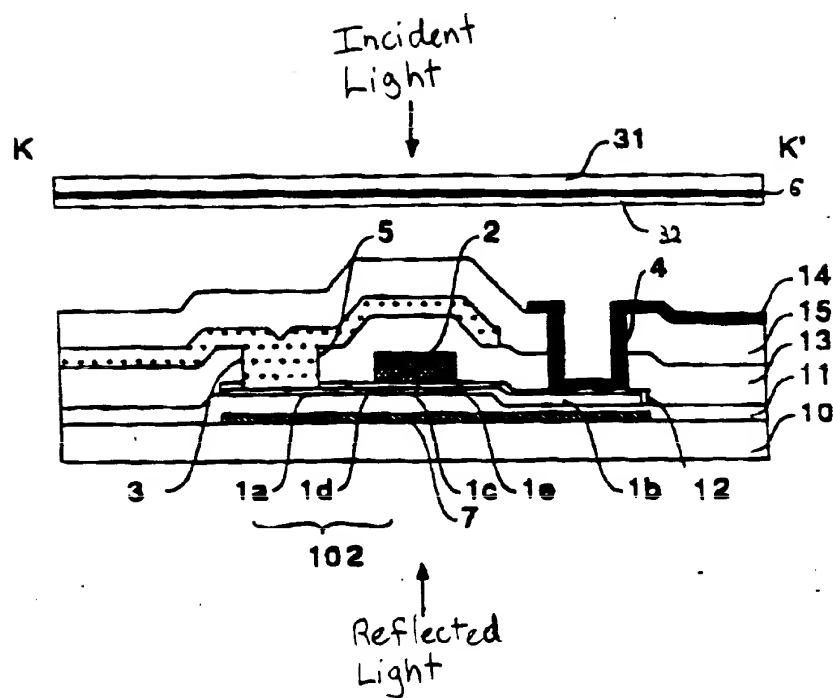


Fig. 23

Fig. 24 (A)

(PIXEL TFT)



Fig. 24 (B)



Fig. 24 (C)



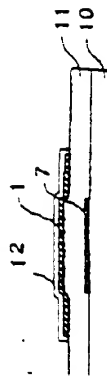
Fig. 24 (D)



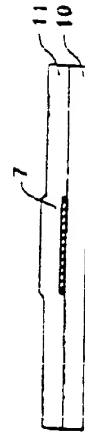
Fig. 24 (E)



Fig. 24 (F)



(CONNECTION WITH CONSTANT
POTENTIAL WIRING)



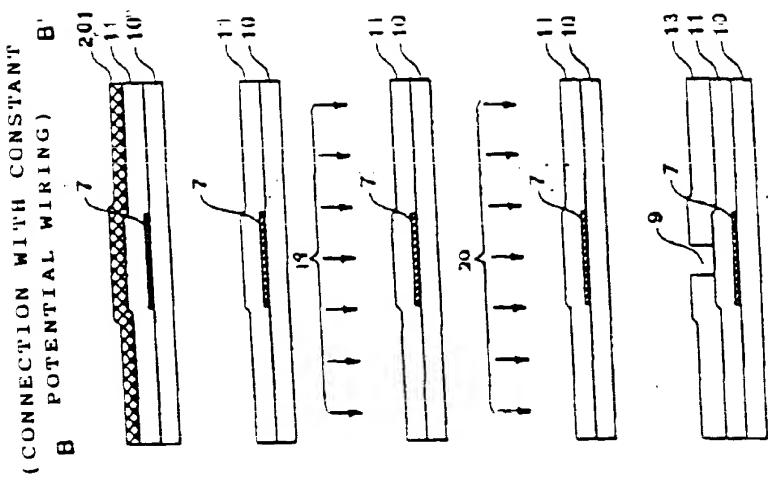
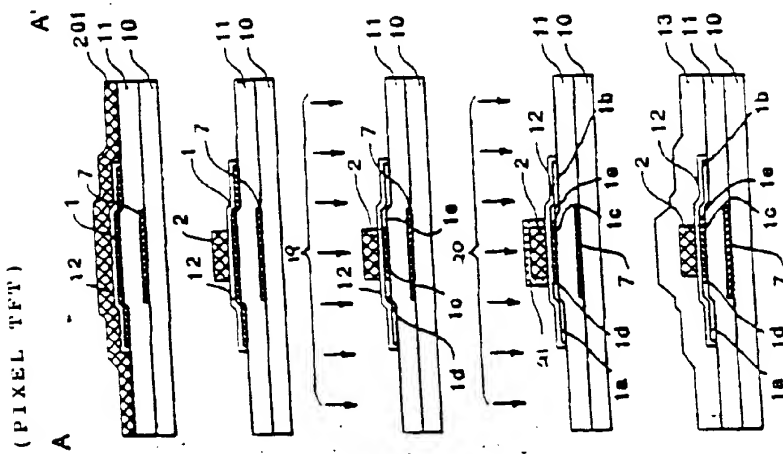


Fig. 25 (A)

Fig. 25 (B)

Fig. 25 (C)

Fig. 25 (D)

Fig. 25 (E)

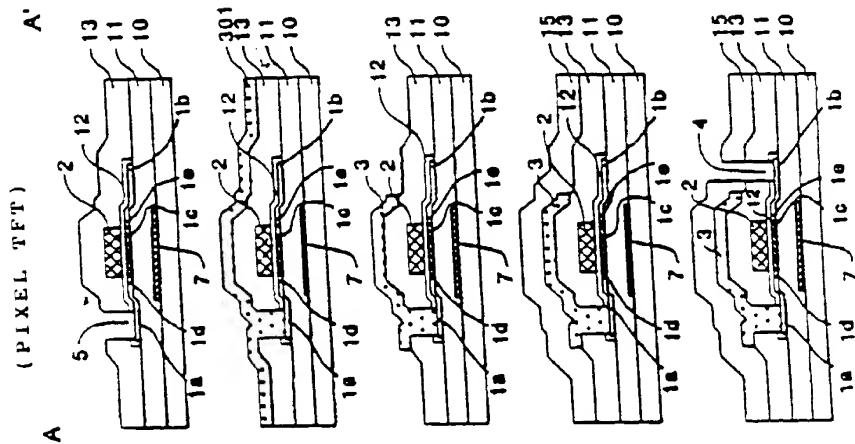


Fig. 26 (A)

Fig. 26 (B)

Fig. 26 (C)

Fig. 26 (D)

Fig. 26 (E)

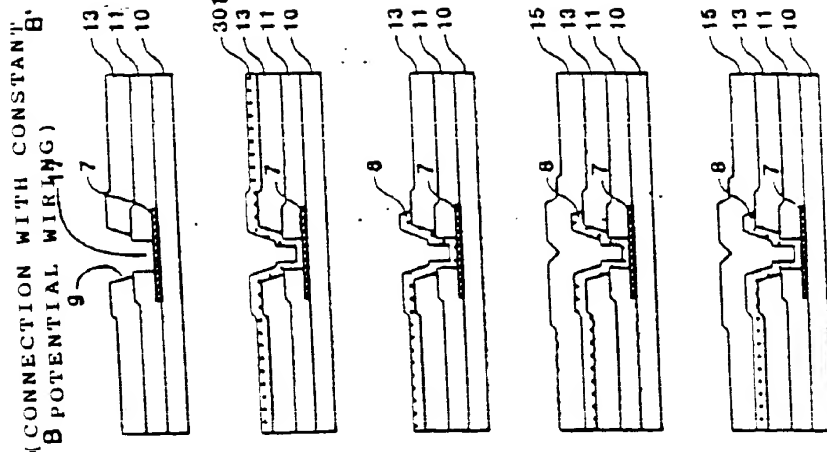


Fig. 26 (A)

Fig. 26 (B)

Fig. 26 (C)

Fig. 26 (D)

Fig. 26 (E)

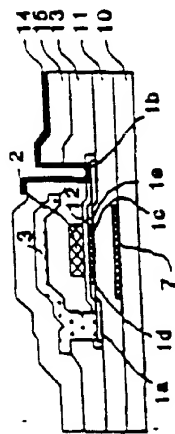
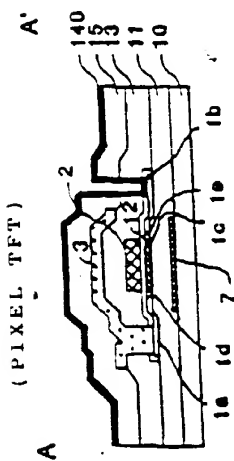
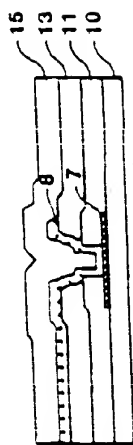
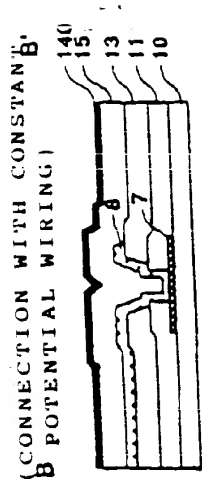


Fig. 27 (A)

Fig. 27 (B)

(CONNECTION WITH CONSTANT
POTENTIAL WIRING) B'

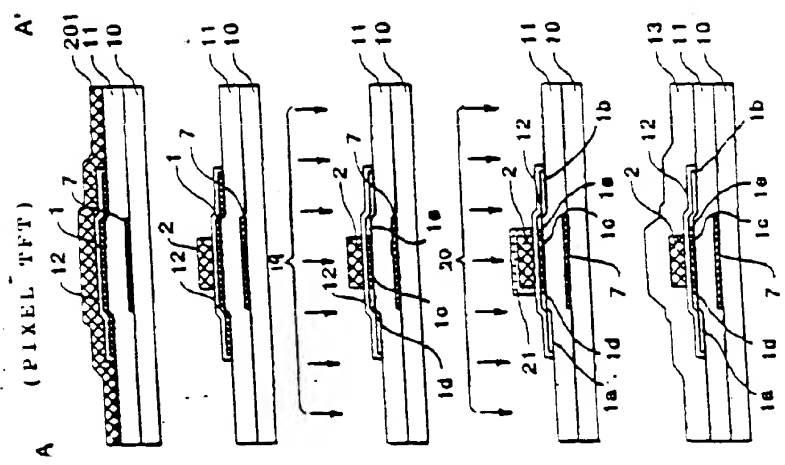
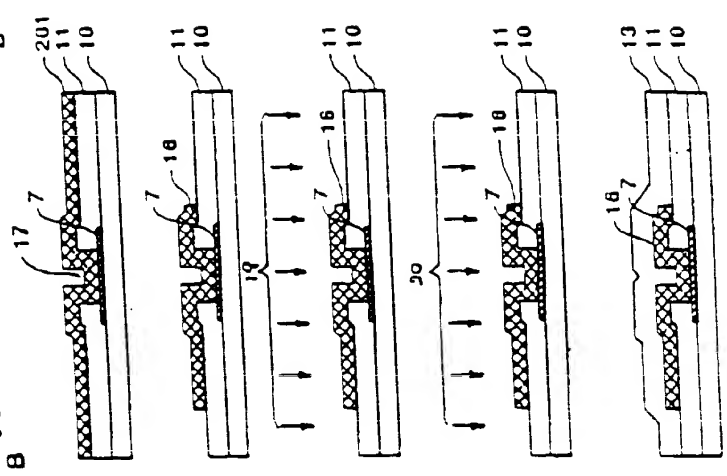


Fig. 28 (A)

Fig. 28 (B)

Fig. 28 (C)

Fig. 28 (D)

Fig. 28 (E)

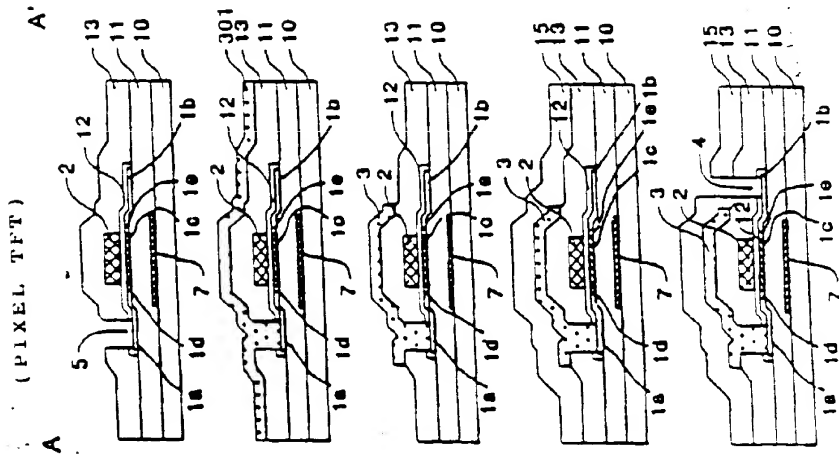


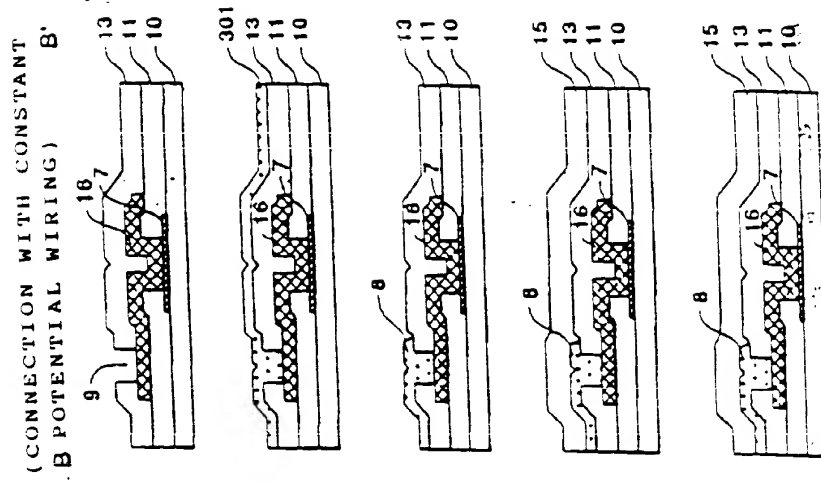
Fig. 29 (A)

Fig. 29 (B)

Fig. 29 (C)

Fig. 29 (D)

Fig. 29 (E)



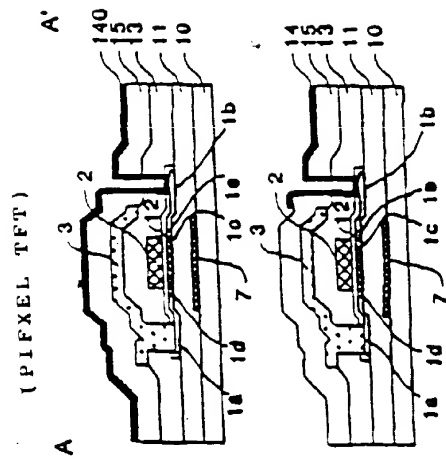
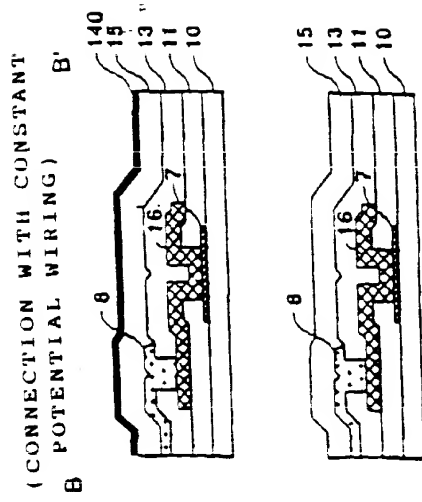


Fig. 30 (A)

Fig. 30 (B)



(CONNECTION WITH CONSTANT
POTENTIAL WIRING)

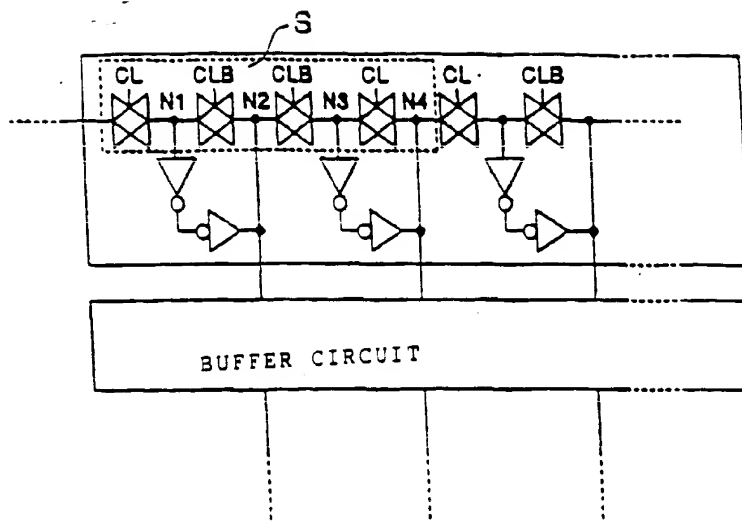


Fig. 31

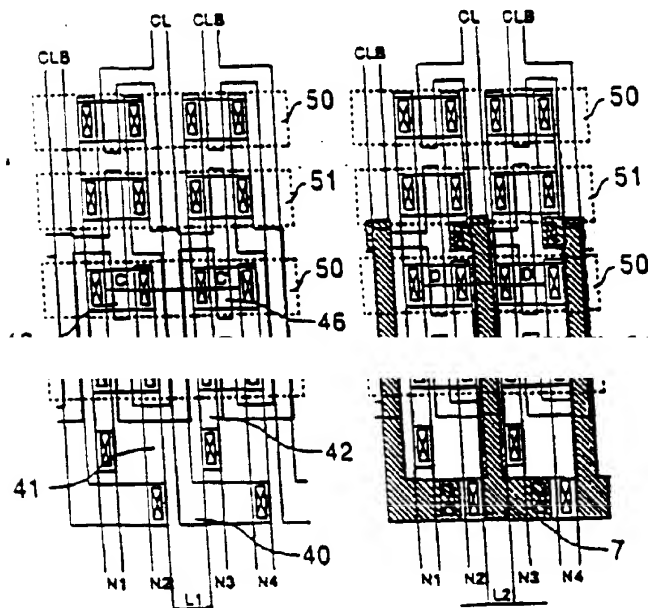


Fig. 32(A)

Fig. 32(B)

Fig. 33(A)

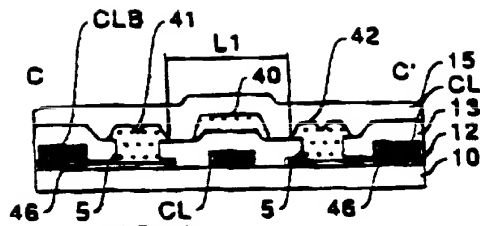


Fig. 33(B)

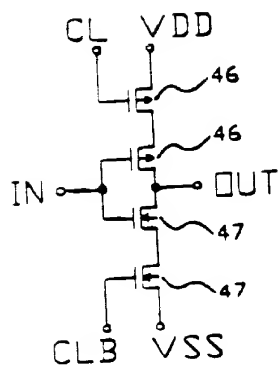
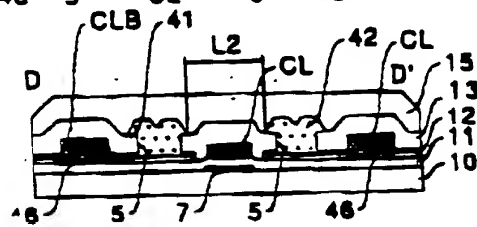


Fig. 34(A)

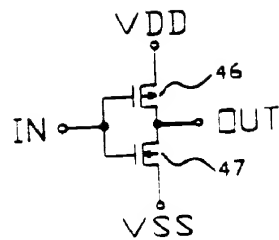
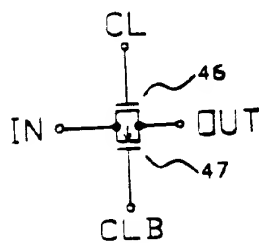


Fig. 34(C)

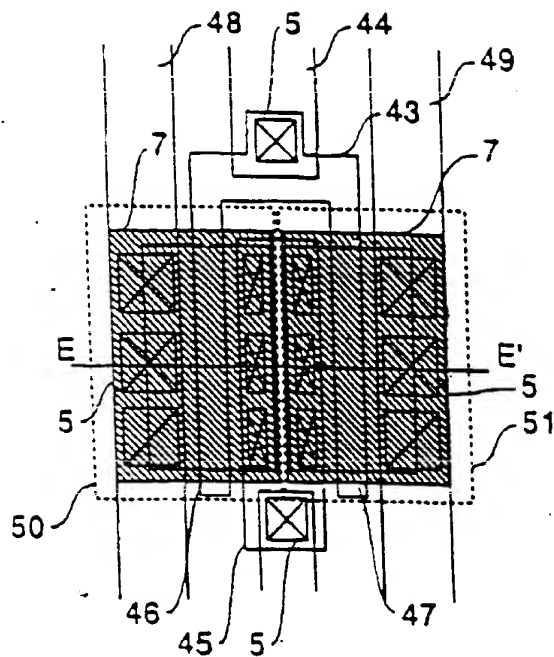


Fig 35(A)

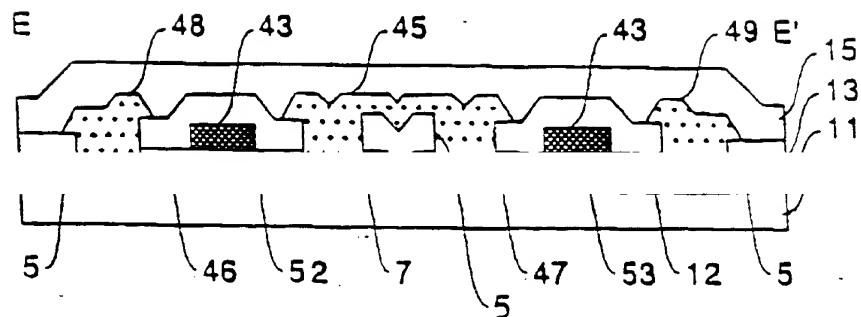


Fig. 35(B)

Fig. 36 (A)

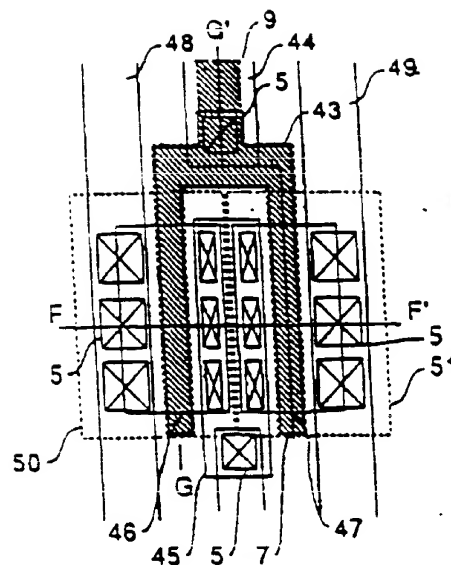


Fig. 36 (B)

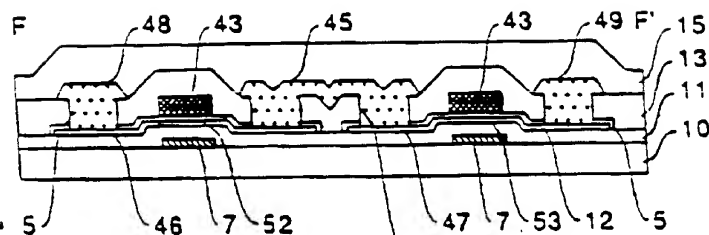
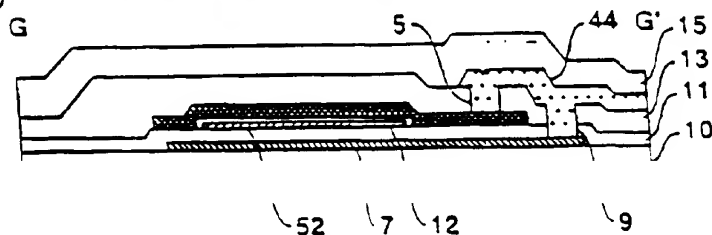


Fig. 36 (C)



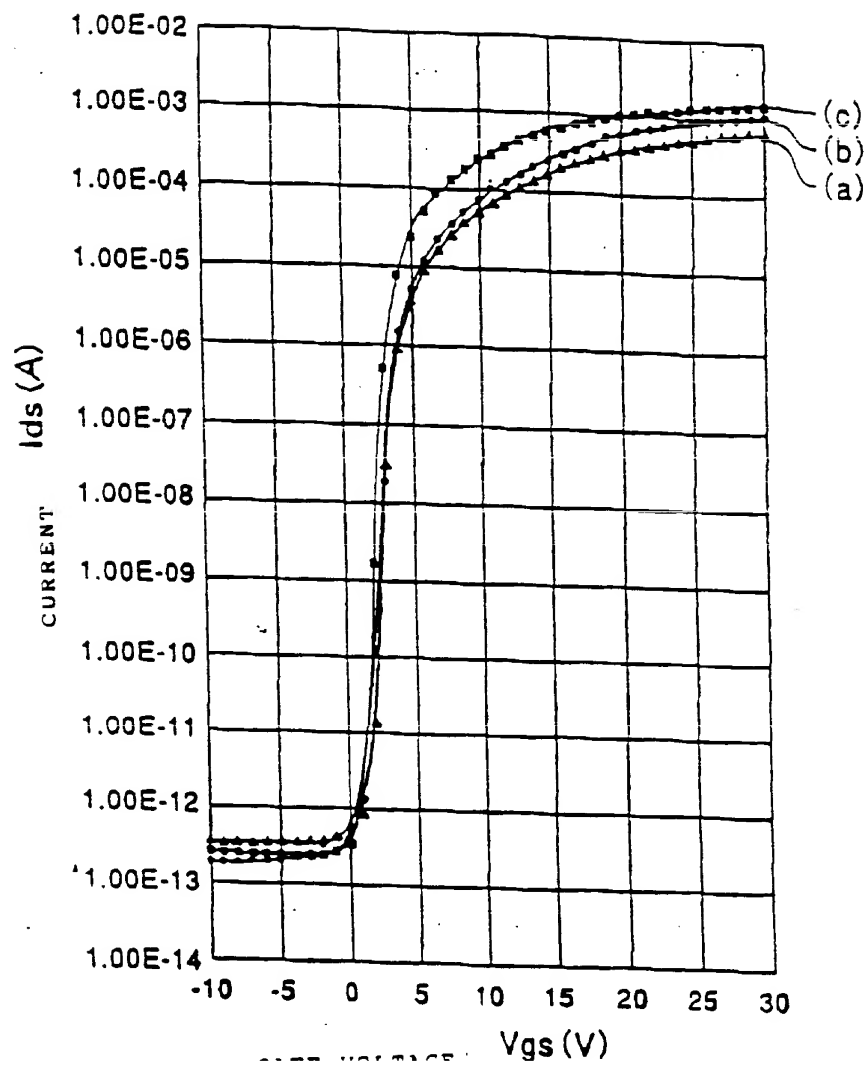


Fig 37

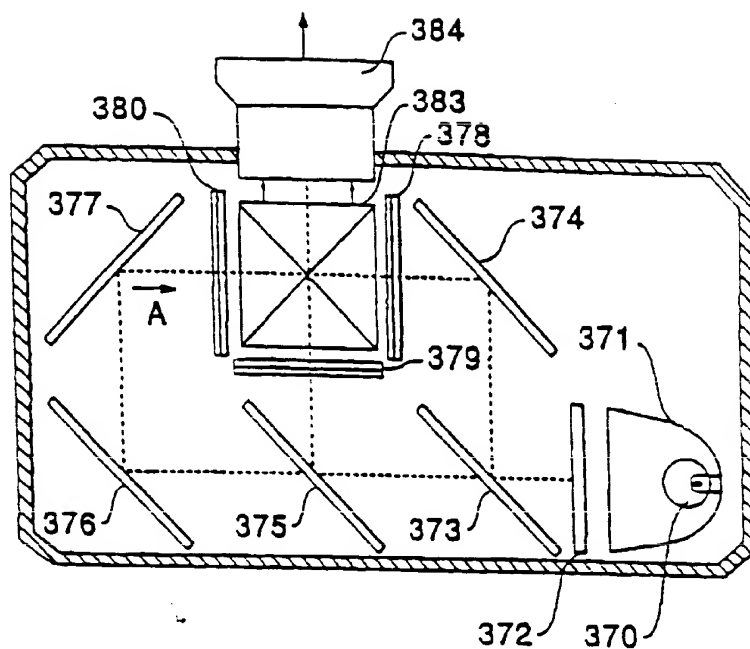


Fig. 38

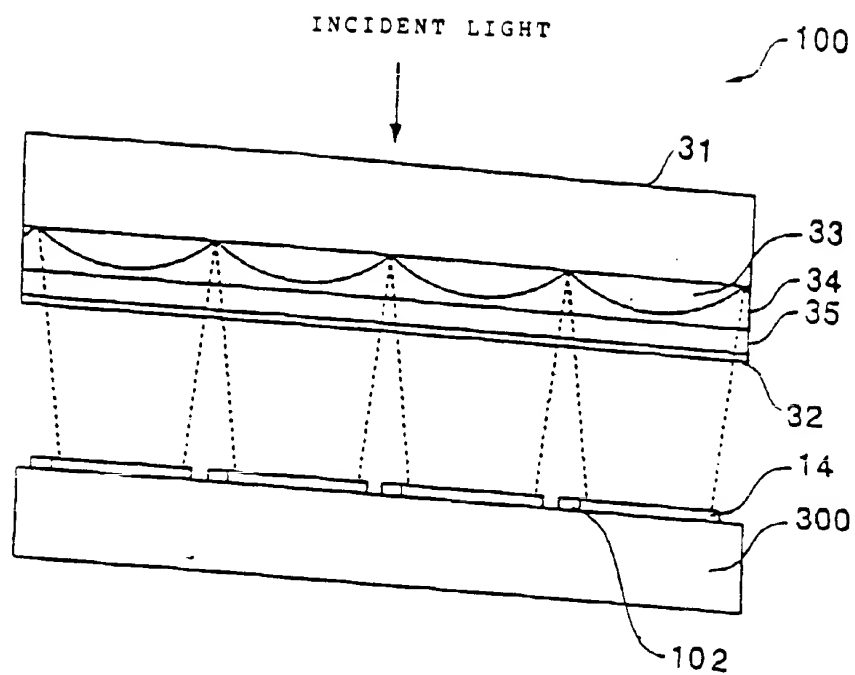


Fig. 39